

| Elektrische Eigenschaften | | Electrical properties | | | | |
|---|--|---|---------------------|---------------------|-------------------|------------------|
| Höchstzulässige Werte | | Maximum rated values | | | | |
| Periodische Vorwärts- und Rückwärts-Spitzenperrspannung | repetitive peak forward off-state and reverse voltages | $t_{vj} = -40^{\circ}\text{C}$ $t_{vj\max}$ | V_{DRM}, V_{RRM} | 1600, 1800 2000* | V | v |
| Vorwärts-Stoßspitzen-sperrspannung | non repetitive peak forward off-state voltage | $t_{vj} = -40^{\circ}\text{C} \dots t_{vj\max}$ | $V_{DSM} = V_{DRM}$ | | | |
| Rückwärts-Stoßspitzen-sperrspannung | non repetitive peak reverse voltage | $t_{vj} = +25^{\circ}\text{C}$ $t_{vj\max}$ | $V_{RSM} = V_{RRM}$ | + 100 | v | |
| Durchlaßstrom-Grenzeffektivwert | RMS on-state current | | I_{TRMSM} | 1500 | A | |
| Dauergrenzstrom | average on-state current | $t_C = 85^{\circ}\text{C}$ | I_{TAVM} | 670 | A | |
| | | $t_C = 57^{\circ}\text{C}$ | | 960 | A | |
| Stoßstrom-Grenzwert | surge current | $t_s = 25^{\circ}\text{C}, t_p = 10 \text{ ms}$ | I_{TSM} | 13 | kA | |
| Grenzlastintegral | I^2t -value | $t_{vj} = t_{vj\max}, t_p = 10 \text{ ms}$ | I^2t | 11,5 | kA | |
| | | $t_{vj} = 25^{\circ}\text{C}, t_p = 10 \text{ ms}$ | | 845 | kA ² s | |
| Kritische Stromsteilheit | critical rate of rise of on-state current | $t_{vj} = t_{vj\max}, t_p = 10 \text{ ms}$ | | 661 | kA ² s | |
| | | $V_0 \leq 67\% V_{DRM}, f = 50 \text{ Hz}$ | $(di/dt)_{cr}$ | 200 | A/ μs | |
| Kritische Spannungssteilheit | critical rate of rise of off-state voltage | $i_{GM} = 1 \text{ A}, di_G/dt = 1 \text{ A}/\mu\text{s}$ | | | | |
| | | $t_{vj} = t_{vj\max}, V_D = 67\% V_{DRM}$ | $(dv/dt)_{cr}$ | 1) | 2) | |
| | | | B: | 50 | 50 | V/ μs |
| | | | C*: | 500 | 500 | V/ μs |
| | | | L: | 500 | 50 | V/ μs |
| | | | M*: | 1000 | 500 | V/ μs |

| Charakteristische Werte | Characteristic values | | | | |
|-----------------------------------|--|---|-------------|------|---------|
| Durchlaßspannung | on-state voltage | $t_{vj} = t_{vj\max}, i_T = 3000 \text{ A}$ | V_T | max. | 2,8 V |
| Schleusenspannung | threshold voltage | $t_{vj} = t_{vj\max}$ | $V_{T(TO)}$ | | 1,15 v |
| Ersatzwiderstand | slope resistance | $t_{vj} = t_{vj\max}$ | r_T | | 0,55 mΩ |
| Zündstrom | gate trigger current | $t_{vj} = 25^\circ\text{C}, V_D = 12 \text{ V}$ | I_{GT} | max. | 250 mA |
| Zündspannung | gate trigger voltage | $t_{vj} = 25^\circ\text{C}, V_D = 12 \text{ V}$ | V_{GT} | max. | 2,2 v |
| Nicht zündender Steuerstrom | gate non-trigger current | $t_{vj} = t_{vj\max}, V_D = 12 \text{ V}$ | I_{GD} | max. | 10 mA |
| Nicht zündende Steuerspannung | gate non-trigger voltage | $t_{vj} = t_{vj\max}, V_D = 0,5 V_{DRM}$ | V_{GD} | max. | 0,25 V |
| Haltestrom | holding current | $t_{vj} = 25^\circ\text{C}, V_D = 12 \text{ V}, R_A = 10 \mu\Omega$ | I_H | max. | 300 mA |
| Einraststrom | latching current | $t_{vj} = 25^\circ\text{C}, V_D = 12 \text{ V}, R_{GK} \geq 10 \Omega$ $i_{GM} = 1 \text{ A}, di_G/dt = 1 \text{ Alps}, t_g = 20 \text{ ps}$ | I_L | max. | 1.5 A |
| Vorwärts- u. Rückwärts-Sperrstrom | forward off-state and reverse Currents | $t_{vj} = t_{vj\max}, V_D = V_{DRM}, V_R = V_{RRM}$ | i_D, i_R | max. | 100 mA |
| Zündverzug | gate controlled delay time | $t_{vj} = 25^\circ\text{C}, i_{GM} = 1 \text{ A}, di_G/dt = 1 \text{ A}/\mu\text{s}$ | t_{gd} | max. | 1,5 μs |
| Freiwerdezeit | circuit commutated turn-off time | siehe Techn. Erl./see Techn. Inf. | t_q | K: | 40 μs |
| | | | | M: | 50 μs |
| | | | | N: | 60 us |

| hermische Eigenschaften | Thermal properties | | | | |
|---|--|---|---------------|------|-----------------|
| Innerer Wärmewiderstand für beidseitige Kühlung | thermal resistance, junction to case for two-sided cooling | $\Theta = 180^\circ \text{ el, sin}$ DC | R_{thJC} | max. | 0,029 °C/W |
| für anodenseitige Kühlung | for anode-sided cooling | $\Theta = 180^\circ \text{ el, sin}$ DC | $R_{thJC(A)}$ | max. | 0,028 °C/W |
| für kathodenseitige Kühlung | for cathode-sided cooling | $\Theta = 180^\circ \text{ el, sin}$ DC | $R_{thJC(K)}$ | max. | 0,043 °C/W |
| Übergangswärmewiderstand | thermal resistance, case to heatsink: | beidseitig/two-sided einseitig/one-sided | R_{thCK} | max. | 0,042 °C/W |
| Höchstzul. Sperrsichttemperatur | max. junction temperature | | $t_{vj\ max}$ | | 125°C |
| Betriebstemperatur | Operating temperature | | $t_{c\ op}$ | | -40 ... + 125°C |
| Lagertemperatur | storage temperature | | t_{sta} | | -40 ... + 150°C |

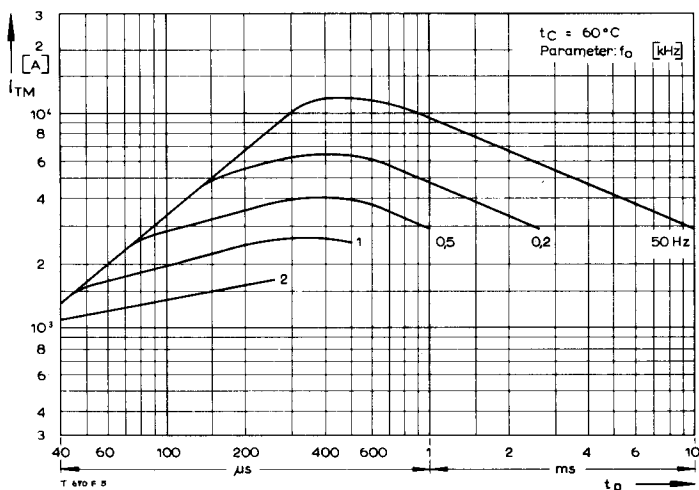
| Mechanische Eigenschaften | Mechanical properties | | | |
|-----------------------------|---------------------------------|-----------------|---|---------------------|
| Si-Element mit Druckkontakt | Si-pellet with pressure contact | | F | 12...24 kN |
| Anpreßkraft | Clamping force | | G | 600 g |
| Gewicht | weight | | | 30 mm |
| Kriechstrecke | Creepage distance | DIN 40040 | | C |
| Feuchteklaasse | humidity classification | | | 50 m/s ² |
| Schwingfestigkeit | Vibration resistance | f = 50 Hz | | |
| Maßbild | outline | DIN 41814-155B4 | | Seitelpage 155 |

* Für größere Stückzahlen bitte Liefertermin erfragen/Delivery for larger quantities on request

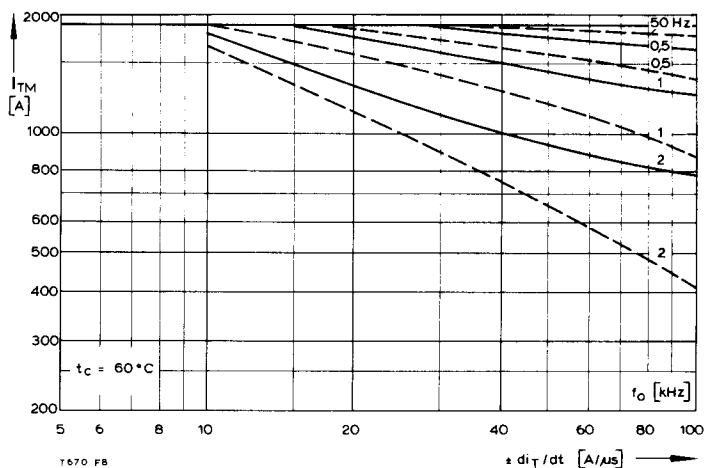
1) Werte nach DIN IEC 747-6 (ohne vorausgehende Kommutierung)/Values to DIN IEC 747-6 (without prior commutation)

2) Unmittelbar nach der Freiwerdezeit, vgl. Maßbedingungen für t_q /Immediately after circuit commutated turn-off time, see Parameters t_q

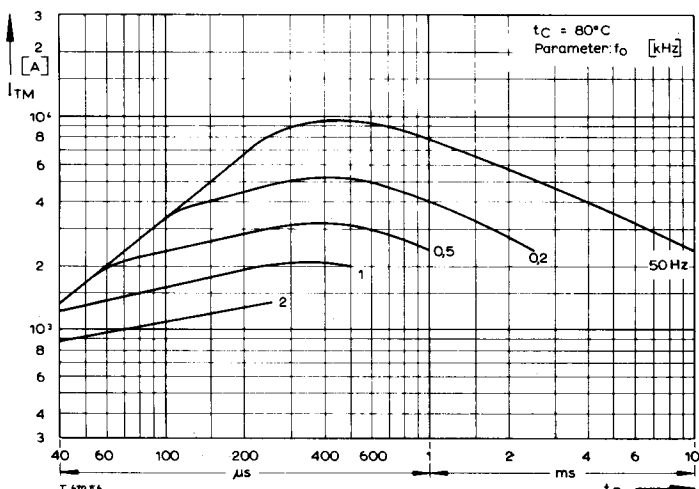
T 670 F



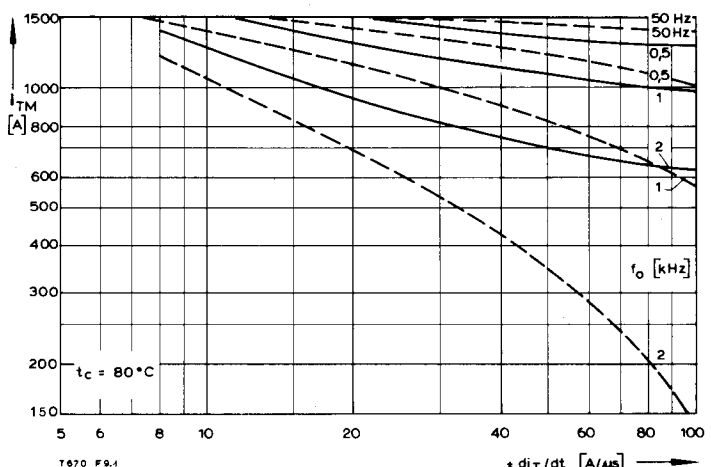
Bild/Fig. 1



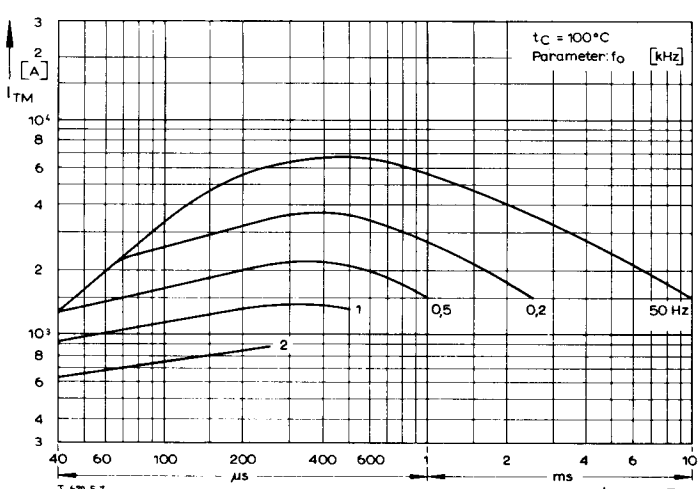
Bild/Fig. 4



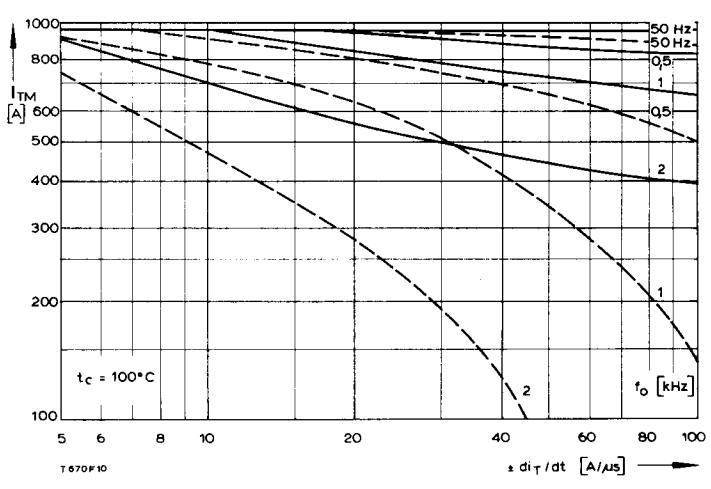
Bild/Fig. 2



Bild/Fig. 5



Bild/Fig. 3



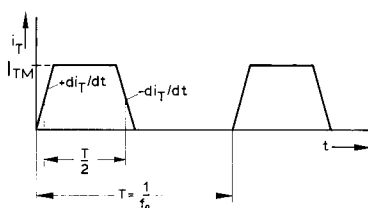
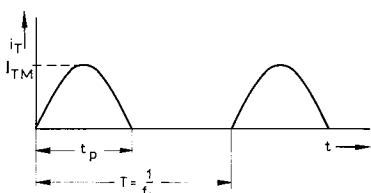
Bild/Fig. 6

Bild/Fig. 1, 2, 3
Steuergenerator/pulse generator:
 $i_G = 1 \text{ A}$, $di_G/dt = 1 \text{ A}/\mu\text{s}$

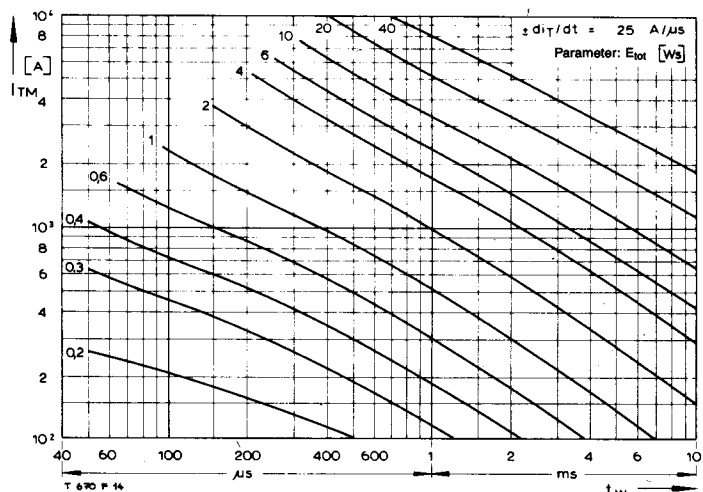
RC-Glied/RC-network:
 $R [\Omega] \geq 0,02 V_{DM} [\text{V}]$
 $C \leq 0,33 \mu\text{F}$
 $V_{DM} \leq 0,67 V_{DRM}$

Bild/Fig. 4, 5, 6
Steuergenerator/pulse generator:
 $i_G = 1 \text{ A}$, $di_G/dt = 1 \text{ A}/\mu\text{s}$

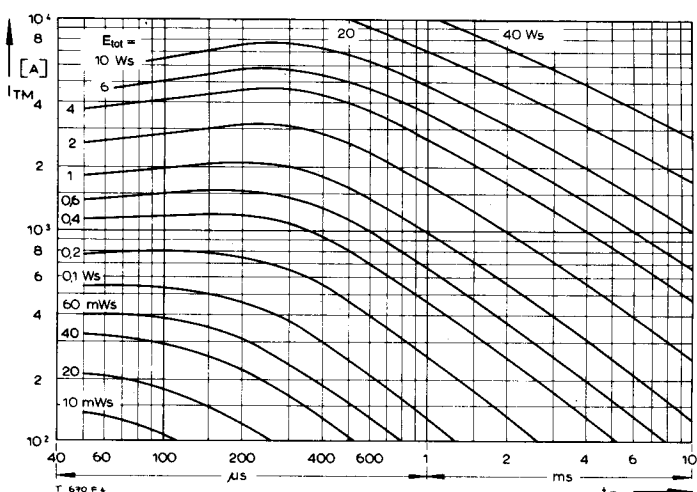
RC-Glied/RC-network:
 $R [\Omega] \geq 0,02 V_{DM} [\text{V}]$
 $C \leq 0,47 \mu\text{F}$
 $V_{DM} \leq 0,67 V_{DRM}$
 $dv_g/dt \leq 700 \text{ V}/\mu\text{s}$
 $V_{RM} \leq 0,67 V_{RRM}$



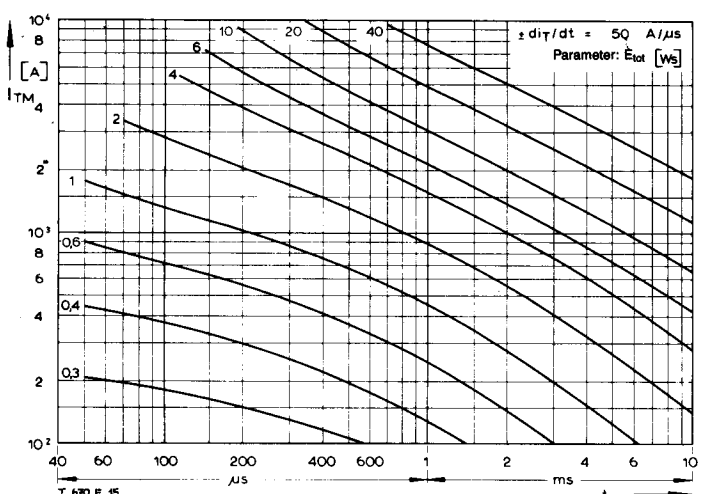
T 670 F



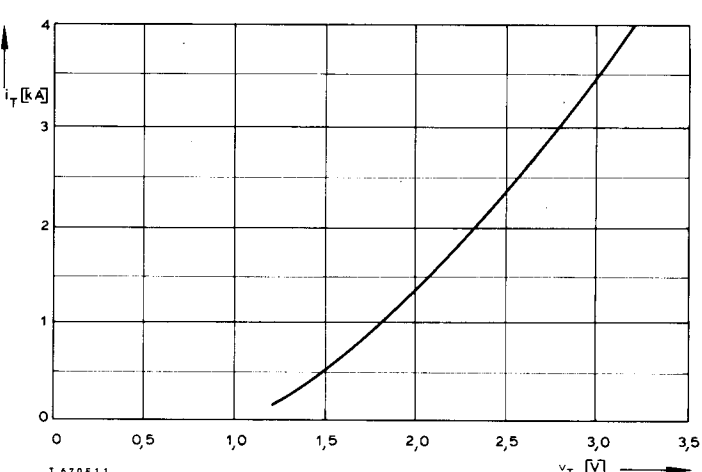
Bild/Fig. 10



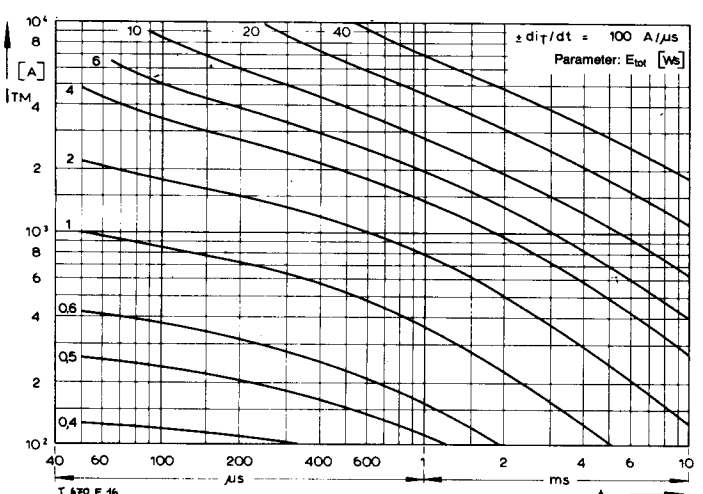
Bild/Fig. 13



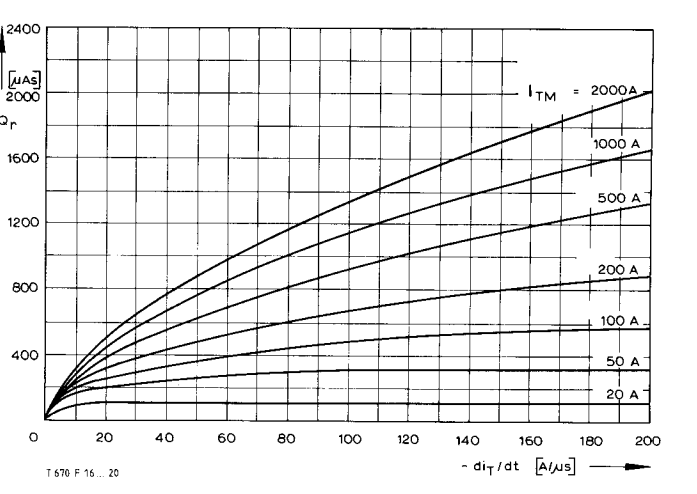
Bild/Fig. 11



Bild/Fig. 14



Bild/Fig. 12



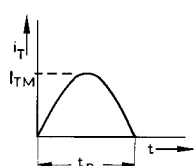
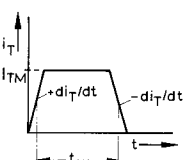
Bild/Fig. 15

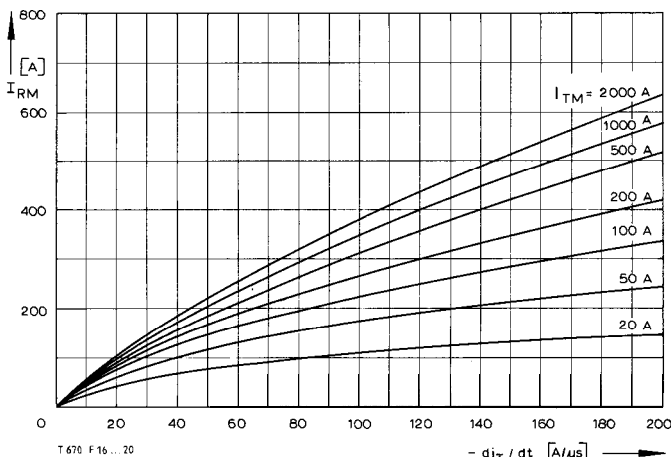
Bild/Fig. 10, 11, 12
Steuergenerator/pulse generator:
 $i_G = 1 \text{ A}$, $di_G/dt = 1 \text{ A}/\mu\text{s}$

RC-Glied/RC-network:
 $R [\Omega] \geq 0,02 V_{DM} [\text{V}]$
 $C \leq 0,47 \mu\text{F}$
 $V_{DM} \leq 0,67 V_{DRM}$
 $dv_T/dt \leq 700 \text{ V}/\mu\text{s}$
 $V_{RM} \leq 0,67 V_{RRM}$

(zu Bild/Fig. 13)
Steuergenerator/pulse generator:
 $i_G = 1 \text{ A}$, $di_G/dt = 1 \text{ A}/\mu\text{s}$

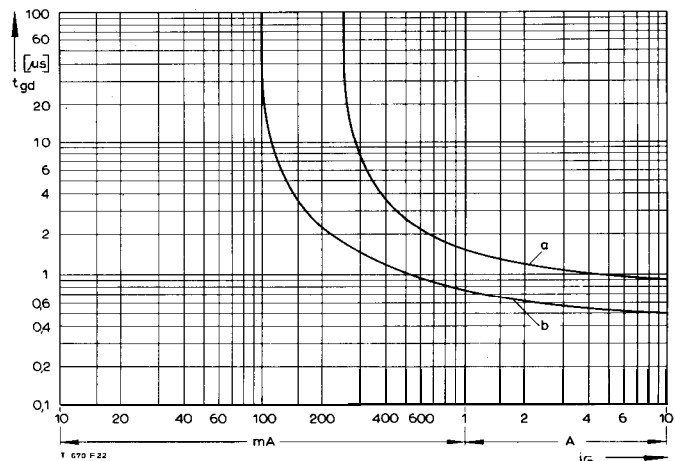
RC-Glied/RC-network:
 $R [\Omega] \geq 0,02 V_{DM} [\text{V}]$
 $C \leq 0,33 \mu\text{F}$





BildFig. 16

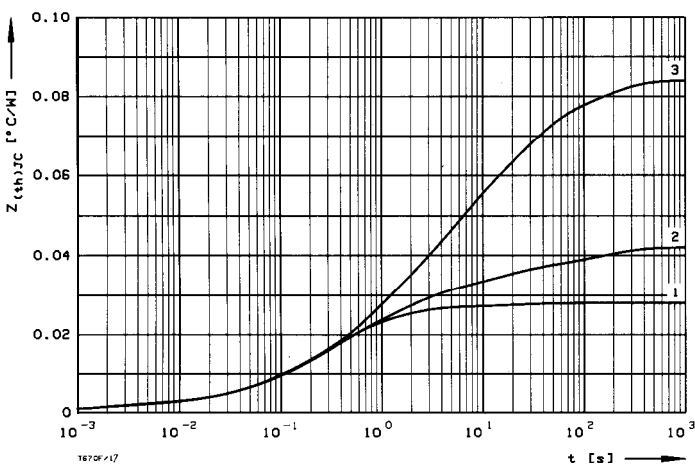
Rückstromspitze $I_{RM} = f(-di/dt)$, $t_{vj} = t_{vj(max)}$, $V_R = 0.5 V_{RRM}$, $V_{RM} = 0.8 V_{RRM}$
 Peak reverse recovery current $I_{RM} = f(-di/dt)$, $t_{vj} = t_{vj(max)}$, $V_R = 0.5 V_{RRM}$, $V_{RM} = 0.6 V_{RRM}$
 Parameter: Durchlaßstrom/On-state current I_{TM}



BildFig. 18

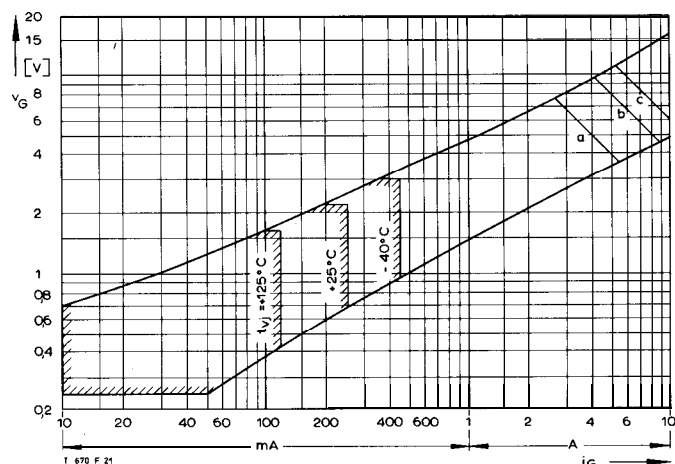
Zündverzug/Gate controlled delay time $t_{gd} = f(i_G)$, $t_{vj} = 25^\circ C$, $di_G/dt = i_G/1 \mu s$

a - Maximaler Verlauf/Limiting characteristic
 b - Typischer Verlauf/Typical Characteristic



BildFig. 17

Transient inner thermal resistance $Z_{thJC} = f(t)$, DC
 Transient inner thermal resistance $Z_{thJC} = f(t)$, DC
 1 Beidseitige Kühlung/two-sided cooling
 2 Anodenseitige Kühlung/anode side cooling
 3 Kathodenseitige Kühlung/cathode side cooling



BildFig. 19

Steuercharakteristik mit Zündbereichen/Gate Characteristic with triggering areas
 $v_G = f(i_G)$, $V_D = 12 V$

Analytische Elemente des transienten Wärmewiderstandes Z_{thJC} für DC
 Analytical elements of transient thermal impedance Z_{thJC} for DC

| Kühlung cooling | Pos. n | 1 | 2 | 3 | 4 | 5 | 6 | 7 |
|---------------------------------|-------------------------------|---------|---------|--------|--------|---------|--------|---|
| beidseitig two-sided | $R_{thn} [\text{C}/\text{W}]$ | 0,0016 | 0,0026 | 0,0146 | 0,0079 | 0,0013 | | |
| | $\tau_n [\text{s}]$ | 0,00141 | 0,0343 | 0,255 | 1,15 | 17,9 | | |
| anodenseitig anode-sided | $R_{thn} [\text{C}/\text{W}]$ | 0,00159 | 0,00326 | 0,0126 | 0,0119 | 0,00665 | 0,0060 | |
| | $\tau_n [\text{s}]$ | 0,00141 | 0,0408 | 0,253 | 1,44 | 12,2 | 144 | |
| kathodenseitig cathode-sided | $R_{thn} [\text{C}/\text{W}]$ | 0,00190 | 0,0066 | 0,0158 | 0,0224 | 0,0253 | 0,012 | |
| | $\tau_n [\text{s}]$ | 0,0017 | 0,0784 | 0,635 | 3,69 | 21,6 | 144 | |

Analytische Funktion/analytical function:

$$Z_{thJC} = \sum_{n=1}^{n_{\max}} R_{thn} (1 - \text{EXP}(-t/\tau_n))$$